

## • 论著 •

# MCC950 能减轻线粒体损伤相关分子模式对肺泡巨噬细胞的致炎效应

彭菲菲 曾振国 邵强 赵宁 江榕 钱克俭 刘芬

330006 江西南昌,南昌大学第一附属医院重症医学科

通讯作者:刘芬, Email: liufenicu@163.com

DOI: 10.3760/cma.j.issn.2095-4352.2016.11.006

**【摘要】目的** 观察一种化学合成小分子物质 MCC950 对线粒体损伤相关分子模式(MTDs)诱导肺泡巨噬细胞炎症反应的影响,并分析其可能的机制。**方法** 利用差速离心法提取 SD 大鼠肝脏组织来源的 MTDs。体外培养大鼠肺泡巨噬细胞 NR8383 细胞株,并分为空白对照组、LPS 阳性对照组(1 mg/L LPS 刺激 12 h)、MTDs 组(50、100、200 mg/L MTDs 刺激 12 h)、MCC950 组(0.1 μmol/L MCC950 处理 30 min)、MCC950 + MTDs 组(终浓度 0.001、0.01、0.1、1.0 μmol/L MCC950 预处理 30 min + 100 mg/L MTDs 刺激 12 h)5 组。收集各组细胞上清液及细胞,采用酶联免疫吸附试验(ELISA)检测肿瘤坏死因子-α(TNF-α)、白细胞介素(IL-1β、IL-18)含量;采用蛋白质免疫印迹试验(Western Blot)检测细胞中天冬氨酸特异性半胱氨酸蛋白酶 1 及其前体(caspase-1、pro-caspase-1)、IL-1β 及其前体(pro-IL-1β)的蛋白表达。**结果** ①与空白对照组相比,50、100、200 mg/L 的 MTDs 刺激组细胞上清液中 TNF-α、IL-1β、IL-18 含量均显著升高[TNF-α(ng/L): 459.17 ± 66.71、968.27 ± 124.29、1128.6 ± 172.02 比 34.67 ± 11.66, IL-1β(ng/L): 341.57 ± 38.09、685.00 ± 75.36、784.97 ± 89.28 比 26.33 ± 8.04, IL-18(ng/L): 175.87 ± 37.43、364.23 ± 39.24、370.60 ± 44.55 比 73.77 ± 12.10, 均  $P < 0.05$ ],且呈剂量依赖性;并与 LPS 组具有类似的致炎作用。②与 MTDs 组相比,0.01、0.1 及 1.0 μmol/L MCC950 + MTDs 组细胞上清液中 IL-1β、IL-18 含量显著降低[IL-1β(ng/L): 334.23 ± 33.56、38.67 ± 12.89、36.13 ± 17.69 比 724.00 ± 77.45, IL-18(ng/L): 165.77 ± 25.47、71.37 ± 5.99、66.80 ± 14.61 比 412.23 ± 40.15, 均  $P < 0.05$ ],其中 0.1 μmol/L 为产生抗炎作用的最佳有效浓度。而各浓度 MCC950 对 TNF-α 影响不大。③与 MTDs 组相比,0.01 μmol/L MCC950 + MTDs 组细胞中 caspase-1 及 IL-1β 蛋白表达显著下降(A值: 14 753.29 ± 950.31 比 19 222.50 ± 1 234.13, 9 981.06 ± 673.63 比 12 759.26 ± 574.69, 均  $P < 0.05$ ), pro-caspase-1 及 pro-IL-1β 蛋白表达无明显变化(A值: 17 856.08 ± 1 076.20 比 17 059.01 ± 966.37, 23 020.19 ± 3 463.57 比 20 642.36 ± 1 714.36, 均  $P > 0.05$ )。**结论** MCC950 能够减少 MTDs 诱导的肺泡巨噬细胞炎性因子分泌,可能通过抑制炎性体活化发挥作用。

**【关键词】** 急性呼吸窘迫综合征; 线粒体损伤相关分子模式; MCC950; 炎症反应; 炎性体

**基金项目:** 国家自然科学基金(81460292, 81260288, 81460015); 江西省教育厅科学技术研究项目(GJJ150240); 南昌大学研究生创新专项资金立项项目(cx2015192)

**MCC950 alleviate the inflammatory effect of mitochondrial damage associated molecular patterns in alveolar macrophages** Peng Feifei, Zeng Zhenguo, Shao Qiang, Zhao Ning, Jiang Rong, QianKejian, Liu Fen

*Department of Critical Care Medicine, the First Affiliated Hospital of Nanchang University, Nanchang 330006, Jiangxi, China*

*Corresponding author: Liu Fen, Email: liufenicu@163.com*

**【Abstract】Objective** To observe the effect of a chemosynthetic small molecule substance MCC950 on the inflammatory mediators in alveolar macrophages (AM) induced by mitochondrial damage associated molecular patterns (mitochondrial DAMPs, MTDs), and analyze its potential molecular mechanism. **Methods** Differential centrifugation was used to extract MTDs derived from liver of SD rat. The rat AM NR8383 cell was cultured *in vitro*, which was divided into five groups: blank control group, LPS positive control group (stimulated with 1 mg/L LPS for 12 hours), MTDs group (stimulated with 50, 100, 200 mg/L MTDs for 12 hours), MCC950 group (stimulated with 0.1 μmol/L MCC950 for 30 minutes), and MCC950+MTDs group (stimulated with 0.001, 0.01, 0.1, 1.0 μmol/L MCC950 for 30 minutes before stimulated with 100 mg/L MTDs for 12 hours). The supernatants and cells of each group were collected, and the enzyme-linked immunosorbent assay (ELISA) was used to assay the contents of tumor necrosis factor-α (TNF-α), interleukins (IL-1β and IL-18), the Western Blot was used to assay the expression of caspase-1, pro-caspase-1, IL-1β and pro-IL-1β in the cell. **Results** ①Compared with the blank control group, the contents of TNF-α, IL-1β, IL-18 insupernatants in the 50, 100 and 200 mg/L MTDs group were significantly higher [TNF-α(ng/L): 459.17 ± 66.71, 968.27 ± 124.29, 1128.6 ± 172.02 vs. 34.67 ± 11.66, IL-1β(ng/L): 341.57 ± 38.09, 685.00 ± 75.36, 784.97 ± 89.28 vs. 26.33 ± 8.04, IL-18(ng/L): 175.87 ± 37.43, 364.23 ± 39.24, 370.60 ± 44.55 vs. 73.77 ± 12.10, all  $P < 0.05$ ], in a dose-dependent manner; with the similar inflammatory effect in lipopolysaccharide (LPS) positive control group.

② Compared with the MTDs group, the contents of IL-1 $\beta$ , IL-18 in the 0.01, 0.1 and 1.0  $\mu\text{mol/L}$  MCC950+MTDs group were remarkably decreased [IL-1 $\beta$  (ng/L): 334.23 $\pm$ 33.56, 38.67 $\pm$ 12.89, 36.13 $\pm$ 17.69 vs. 724.00 $\pm$ 77.45, IL-18 (ng/L): 165.77 $\pm$ 25.47, 71.37 $\pm$ 5.99, 66.80 $\pm$ 14.61 vs. 412.23 $\pm$ 40.15, all  $P < 0.05$ ], and 0.1  $\mu\text{mol/L}$  is the optimal effective concentration of anti-inflammation. The influence of MCC950 in various concentrations on the TNF- $\alpha$  was little. ③ Compared with the MTDs group, the expression of caspase-1 and IL-1 $\beta$  in the 0.01  $\mu\text{mol/L}$  MCC950 group was inhibited significantly ( $A$  value: 14 753.29 $\pm$ 950.31 vs. 19 222.50 $\pm$ 1 234.13, 9 981.06 $\pm$ 673.63 vs. 12 759.26 $\pm$ 574.69, both  $P < 0.05$ ), but the change of pro-caspase-1 and pro-IL-1 $\beta$  was incomparable ( $A$  value: 17 856.08 $\pm$ 1 076.20 vs. 17 059.01 $\pm$ 966.37, 23 020.19 $\pm$ 3 463.57 vs. 20 642.36 $\pm$ 1 714.36, both  $P > 0.05$ ). **Conclusion** Inflammatory mediators secreted from MTDs induced-AM could be reduced by MCC950, which may be the effect of inflammasome inhibition.

**【Key words】** Acute respiratory distress syndrome; Mitochondrial damage associated molecular patterns; MCC950; Inflammation; Inflammasome

**Fund program:** National Natural Science Foundation of China (81460292, 81260288, 81460015); Jiangxi Provincial Department of Education Science and Technology Research Project (GJJ150240); Nanchang University graduate innovation special funds project(cx2015192)

严重感染导致的脓毒症或严重创伤导致的休克,均能诱发大量损伤相关分子模式(DAMP)释放入血,通过 Toll 样受体(TLR)或核苷酸结合寡聚化结构域样受体(NLR)激活免疫细胞及效应细胞,从而活化 NLRP3 炎性体通路,放大炎症级联反应,加重器官炎症性损伤<sup>[1-2]</sup>。炎性体活化是炎性因子失控性释放导致急性呼吸窘迫综合征(ARDS)的主要机制之一<sup>[3-4]</sup>,而抑制肺泡巨噬细胞的炎性体活化,减少炎性因子释放是抑制线粒体 DAMP(MTDs)引起肺损伤的关键。有研究报道,一种化学合成的小分子物质 MCC950 能够抑制经典及非经典 NLRP3 炎性体通路,改善自身免疫性脑脊髓膜炎<sup>[5]</sup>,但目前 MCC950 对 ARDS 的作用鲜见报道。

本研究利用差速离心法提取 SD 大鼠肝脏组织来源的线粒体以获得 MTDs,用不同剂量的外源性 MTDs 刺激肺泡巨噬细胞,观察其致炎效应,并观察不同浓度 MCC950 预处理对 MTDs 诱导炎症反应的影响,初步探讨 MCC950 发挥作用的可能途径,现报道如下。

## 1 材料和方法

**1.1 实验动物及主要试剂:** SD 大鼠购自南昌大学动物科学部(合格证号: 43004700013905); 大鼠肺泡巨噬细胞 NR8383 细胞株购自中国科学院细胞库; MCC950 购自美国 MedChem Express 公司; 脂多糖(LPS)、HamF-12K 培养基购自美国 Sigma-Aldrich 公司; 胎牛血清购自美国 Gibco 公司; 大鼠肿瘤坏死因子- $\alpha$  (TNF- $\alpha$ )、白细胞介素(IL-1 $\beta$ 、IL-18)酶联免疫吸附试验(ELISA)试剂盒购于上海依科赛科技实业有限公司; 天冬氨酸特异性半胱氨酸蛋白酶 1(caspase-1)p10 抗体购自美国 Santa Cruz 公司, IL-1 $\beta$  抗体购自英国 Abcam Cambridge 公司,

$\beta$ -肌动蛋白( $\beta$ -actin)及辣根过氧化物酶(HRP)标记二抗购自北京中杉金桥生物技术有限公司; 组织线粒体提取试剂盒购自南京碧云天生物科技有限公司; 詹姆斯绿 B 购自北京索莱宝科技有限公司。

**1.2 细胞培养:** 肺泡巨噬细胞株 NR8383 培养于含 15% 胎牛血清、1.5 g/L 碳酸氢钠的 HamF-12K 完全培养基中, 37 °C、5% CO<sub>2</sub> 培养箱内培养, 2~3 d 更换 1 次培养基, 当细胞生长融合至 85% 时传代 1 次。在细胞培养过程中使用经去致热源处理的一次性耗材。

**1.3 实验分组及处理:** 取对数生长期的 NR8383 细胞, 按照每孔  $2 \times 10^6$  个细胞接种于 6 孔板。实验分为 5 组: ① 空白对照组; ② LPS 阳性对照组: 细胞培养基中加 1 mg/L LPS 刺激 12 h; ③ MTDs 组: 分别在细胞培养基中加入 50、100、200 mg/L 的 MTDs 刺激 12 h; ④ MCC950 组: 用 0.1  $\mu\text{mol/L}$  MCC950 处理 NR8383 细胞 30 min; ⑤ MCC950 + MTDs 组: 分别加入 0.001、0.01、0.1、1  $\mu\text{mol/L}$  的 MCC950 预处理 NR8383 细胞 30 min, 然后更换培养基, 加入 100 mg/L MTDs 刺激 12 h。收集各组细胞上清液及细胞以备检测。

**1.4 线粒体及 MTDs 的提取:** 取 SD 大鼠肝脏, 磷酸盐缓冲液(PBS)冲洗、剪碎, 加入线粒体分离试剂 A, 匀浆 10 次, 4 °C 离心 5 min 取上清, 再离心 10 min, 去上清, 沉淀即为分离得到的线粒体。纯化线粒体并于冰浴中用超声波细胞破碎仪破碎细胞(450 W, 破碎 30 s, 间歇 30 s, 10 个循环)。离心取上清, 获得 MTDs, 于 -80 °C 保存备用。BCA 法进行 MTDs 蛋白定量。

**1.5 詹纳斯绿 B 鉴定提取的线粒体:** 配置 0.04% 詹纳斯绿 B 染液, 分别加入 10  $\mu\text{L}$  的线粒体悬液和

詹纳斯绿B染液,染色5 min后,于400倍光镜下观察、拍照。

**1.6 炎性因子测定:**按照ELISA试剂盒说明书步骤检测细胞上清液中TNF- $\alpha$ 、IL-1 $\beta$ 、IL-18水平,于波长450 nm处测定吸光度(A)值,绘制标准曲线,计算出炎性因子含量。

**1.7 蛋白质免疫印迹试验(Western Blot)**检测细胞中caspase-1、IL-1 $\beta$ 蛋白表达:裂解细胞,提取总蛋白,采用BCA法定量蛋白,进行凝胶电泳、转膜、封闭,加一抗、二抗,洗膜后电化学发光(ECL)增强发光,电化学凝胶成像系统显影,记录目的蛋白与内参照 $\beta$ -actin的A值比值作为表达量。

**1.8 统计学分析:**应用SPSS 17.0软件进行数据分析,计量数据以均数±标准差( $\bar{x} \pm s$ )表示,多组比较采用单因素方差分析,并进一步采用Dunnett-t检验或LSD-t检验进行组间比较。 $P < 0.05$ 为差异有统计学意义。

## 2 结果

**2.1 线粒体鉴定(图1):**詹姆斯绿B染色后,线粒体悬液中可以看到大量内膜被染成绿色的线粒体,表明线粒体及MTDs提取成功。

**2.2 不同浓度MTDs对大鼠肺泡巨噬细胞的致炎效应(图2):**50、100、200 mg/L MTDs刺激NR8383肺泡巨噬细胞后,细胞上清液中TNF- $\alpha$ 、IL-1 $\beta$ 、IL-18含量均较空白对照组显著升高(均 $P < 0.05$ ),证实MTDs能诱导大鼠肺泡巨噬细胞炎症反应,且与LPS具有类似的致炎作用。且MTDs的致炎作用呈剂量依赖性,100 mg/L MTDs组细胞上清液中TNF- $\alpha$ 、IL-1 $\beta$ 、IL-18含量均显著高于50 mg/L MTDs组,而200 mg/L MTDs组除IL-1 $\beta$ 显著高于

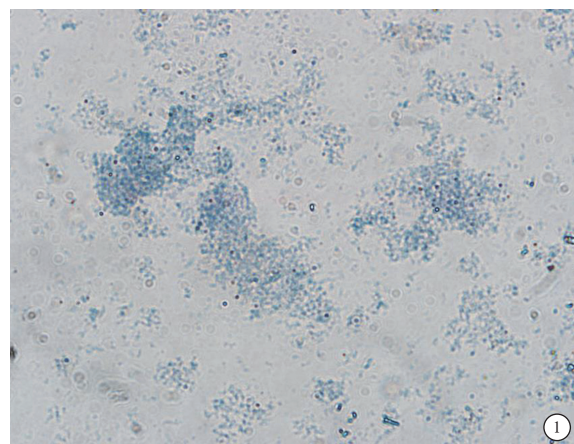
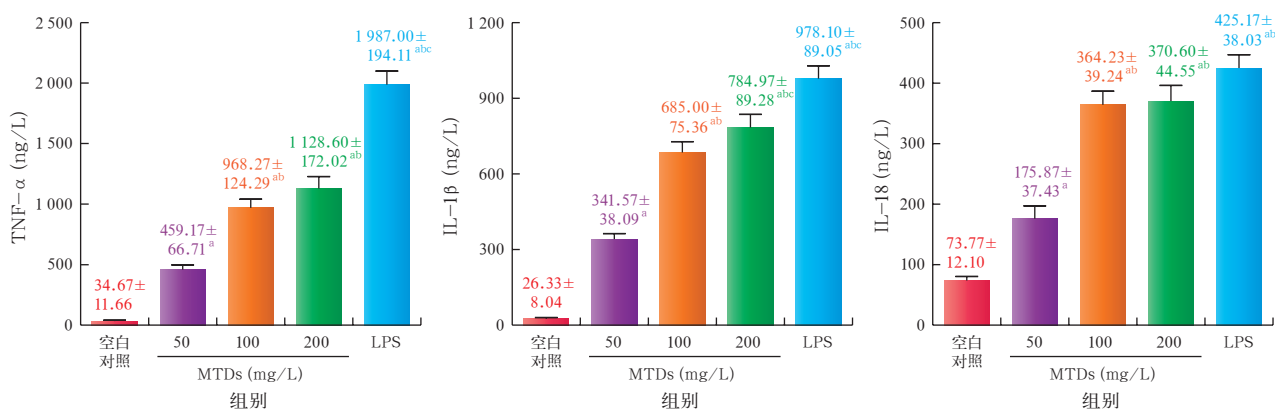


图1 光镜下观察从SD大鼠肝脏中提取的线粒体损伤相关分子模式(MTDs),大量内膜被染成绿色,表明MTDs提取成功 詹姆斯绿B染色 高倍放大

100 mg/L MTDs组外,TNF- $\alpha$ 、IL-18均维持在高水平。

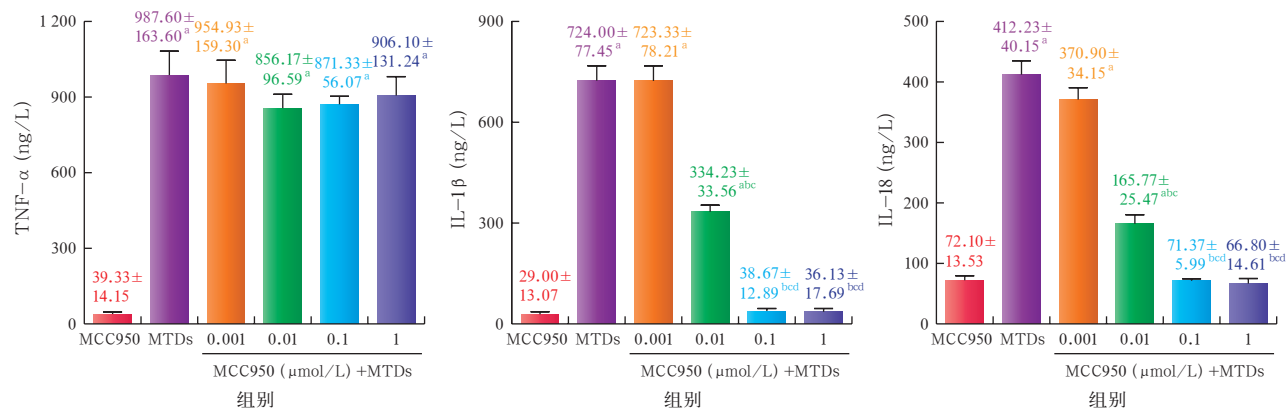
**2.3 不同浓度MCC950对MTDs致炎效应的影响(图3):**与MTDs组相比,0.001  $\mu\text{mol/L}$  MCC950对MTDs刺激肺泡巨噬细胞细胞上清液中TNF- $\alpha$ 、IL-1 $\beta$ 、IL-18含量无明显影响(均 $P > 0.05$ );0.01、0.1、1.0  $\mu\text{mol/L}$ 的MCC950可以显著降低细胞上清液中IL-1 $\beta$ 、IL-18含量(均 $P < 0.05$ ),但TNF- $\alpha$ 含量下降不明显(均 $P > 0.05$ )。其中0.1  $\mu\text{mol/L}$ 为MCC950对MTDs诱导肺泡巨噬细胞产生抗炎作用的最佳有效浓度。

**2.4 MCC950对MTDs诱导肺泡巨噬细胞caspase-1和IL-1 $\beta$ 蛋白表达的影响(图4;表1):**MCC950+MTDs组肺泡巨噬细胞caspase-1、IL-1 $\beta$ 蛋白表达较MTDs组明显下降( $P < 0.05$ );而caspase-1、IL-1 $\beta$ 前体(pro-caspase-1、pro-IL-1 $\beta$ )蛋白表达则无明显变化(均 $P > 0.05$ )。



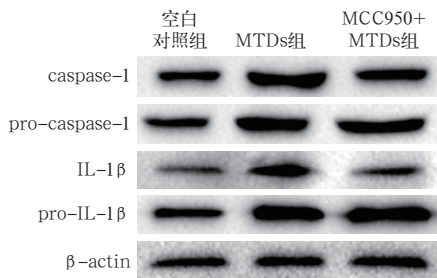
注:LPS为脂多糖,TNF- $\alpha$ 为肿瘤坏死因子- $\alpha$ ,IL-1 $\beta$ 、IL-18为白细胞介素-1 $\beta$ 、-18;与空白对照组比较,<sup>a</sup> $P < 0.05$ ;与50 mg/L MTDs组比较,<sup>b</sup> $P < 0.05$ ;与100 mg/L MTDs组比较,<sup>c</sup> $P < 0.05$

图2 不同剂量外源性线粒体损伤相关分子模式(MTDs)对肺泡巨噬细胞的致炎效应



注: TNF- $\alpha$  为肿瘤坏死因子- $\alpha$ , IL-1 $\beta$ 、IL-18 为白细胞介素-1 $\beta$ 、-18; 与 0.1  $\mu\text{mol/L}$  MCC950 组比较, <sup>a</sup> $P < 0.01$ ; 与 100 mg/L MTDs 组比较, <sup>b</sup> $P < 0.05$ ; 与 0.001  $\mu\text{mol/L}$  MCC950+MTDs 组比较, <sup>c</sup> $P < 0.05$ ; 与 0.01  $\mu\text{mol/L}$  MCC950+MTDs 组比较, <sup>d</sup> $P < 0.05$

图 3 不同浓度 MCC950 对外源性线粒体损伤相关分子模式(MTDs)诱导肺泡巨噬细胞致炎效应的减轻作用



注: MTDs 为线粒体损伤相关分子模式, caspase-1、pro-caspase-1 为天冬氨酸特异性半胱氨酸蛋白酶 1 及其前体, IL-1 $\beta$ 、pro-IL-1 $\beta$  为白细胞介素-1 $\beta$  及其前体,  $\beta$ -actin 为  $\beta$ -肌动蛋白

图 4 蛋白质免疫印迹试验(Western Blot)检测 MCC950 对肺泡巨噬细胞中 pro-caspase-1、pro-IL-1 $\beta$  蛋白剪切成熟的影响

表 1 MCC950 预处理对 MTDs 诱导肺泡巨噬细胞中 caspase-1、IL-1 $\beta$  蛋白表达的影响( $\bar{x} \pm s$ )

组别	样本数 (孔)	caspase-1 (A 值)	pro-caspase-1 (A 值)
空白对照组	3	11976.66 ± 960.32	10814.51 ± 1022.12
MTDs 组	3	19222.50 ± 1234.13 <sup>a</sup>	17059.01 ± 966.37 <sup>a</sup>
MCC950+MTDs 组	3	14753.29 ± 950.31 <sup>ab</sup>	17856.08 ± 1076.20 <sup>a</sup>
组别	样本数 (孔)	IL-1 $\beta$ (A 值)	pro-IL-1 $\beta$ (A 值)
空白对照组	3	9438.99 ± 486.93	13415.04 ± 1359.92
MTDs 组	3	12759.26 ± 574.69 <sup>a</sup>	20642.36 ± 1714.36 <sup>a</sup>
MCC950+MTDs 组	3	9981.06 ± 673.63 <sup>ab</sup>	23020.19 ± 3463.57 <sup>a</sup>

注: MTDs 为线粒体损伤相关分子模式, caspase-1、pro-caspase-1 为天冬氨酸特异性半胱氨酸蛋白酶 1 及其前体, IL-1 $\beta$ 、pro-IL-1 $\beta$  为白细胞介素-1 $\beta$  及其前体; 与空白对照组比较, <sup>a</sup> $P < 0.05$ ; 与 MTDs 组比较, <sup>b</sup> $P < 0.05$

### 3 讨论

组织或细胞在受到强烈应激或严重损伤时,可释放出一类物质被 TLR 和 NLR 识别而诱导免疫应答,这类来源于宿主自身受损或死亡细胞的物质被称为 DAMP<sup>[6-7]</sup>。最近有研究者证实线粒体来源的 DAMP 是机体严重创伤、休克时内源性 DAMP 的主要来源之一<sup>[8-9]</sup>, MTDs 是线粒体受损时释放的物质,主要包括线粒体 DNA、甲酰肽、三磷酸腺苷、活

性氧簇等。Li 等<sup>[10]</sup>和 Zhang 等<sup>[11]</sup>研究显示,将线粒体碎片经尾静脉注入大鼠体内可诱发全身炎症反应,且 3 h 后出现肺水肿等病理学改变,支气管肺泡灌洗液(BALF)中的中性粒细胞计数、TNF- $\alpha$  及 IL-6 含量均明显升高。Gu 等<sup>[12]</sup>也发现,将线粒体 DNA 注射到小鼠体内可诱导急性肺损伤(ALI),伴有大量肺泡巨噬细胞浸润。本课题组前期研究也发现,线粒体 DNA 能够剂量依赖性地诱导肺泡巨噬细胞 TNF- $\alpha$ 、IL-1 $\beta$  和 IL-6 等炎性因子表达<sup>[13]</sup>。本研究采用不同剂量 MTDs 刺激大鼠肺泡巨噬细胞 12 h 后发现,细胞上清液中 TNF- $\alpha$ 、IL-1 $\beta$ 、IL-18 含量均显著增多,证实 MTDs 具有较强的致炎效应,与文献报道相一致;此外本研究发现,MTDs 的致炎效应呈剂量依赖性,100 mg/L MTDs 组各炎性因子显著高于 50 mg/L MTDs 组,而 200 mg/L MTDs 组 TNF- $\alpha$ 、IL-18 虽有增加趋势,但差异无统计学意义,说明 100 mg/L MTDs 的致炎作用相对稳定。鉴于 MTDs 的致炎效应,如何有效阻断其诱导炎性因子分泌尤为重要。

MCC950 是一种含二芳基碘酰脲的复合物, Coll 等<sup>[5]</sup>首次发现 MCC950 能特异性抑制 NLRP3 炎性体的组装,同时抑制经典及非经典 NLRP3 炎性体通路,减少体内外 IL-1 $\beta$  的分泌,在自体免疫或自身炎症性疾病小鼠模型中均能有效抑制炎症反应。本研究利用不同浓度 MCC950 预处理大鼠肺泡巨噬细胞 30 min 后发现,0.01、0.1 和 1.0  $\mu\text{mol/L}$  的 MCC950 均可显著降低 MTDs 刺激后细胞上清液中 IL-1 $\beta$ 、IL-18 含量,其中 0.1  $\mu\text{mol/L}$  为抗炎最佳有效浓度,但各浓度对 TNF- $\alpha$  含量的影响不明显。进一步研究发现,0.1  $\mu\text{mol/L}$  MCC950 能够明显抑制 MTDs 刺激后细胞中 caspase-1、IL-1 $\beta$  蛋白表达,而不影响

pro-caspase-1、pro-IL-1 $\beta$ 蛋白表达。以上结果证实, MCC950能减轻MTDs刺激后肺泡巨噬细胞的炎症反应, 初步分析其机制可能与NLRP3炎性体的活化有关。NLRP3炎性体活化需要经过两步, 先由胞外刺激诱导NLRP3、pro-caspase-1和pro-IL-1 $\beta$ 表达, 随后NLRP3、pro-caspase-1与凋亡相关点样蛋白(ASC)形成炎性体蛋白单体, 再由DAMP诱导组装成炎性体多聚体, 发挥活性作用, 促进IL-1 $\beta$ 、IL-18剪切成熟并分泌<sup>[14-16]</sup>。有研究表明, NLRP3炎性体活化参与了脓毒症或全身炎症反应综合征(SIRS)所致的ARDS<sup>[17-20]</sup>; 而限制炎性体活化可以改善盲肠结扎穿孔术(CLP)所致的肺内炎症和肺纤维化<sup>[21]</sup>; 减少炎性疾病模型小鼠的炎症反应<sup>[22]</sup>; 减少LPS诱导的肺内炎性细胞浸润, 抑制炎性因子入血, 减轻肺内炎症, 改善ALI<sup>[23-25]</sup>。

综上所述, 结合本研究结果, 初步分析MCC950减轻MTDs的致炎效应可能是通过抑制MTDs诱导的肺泡巨噬细胞炎性体活化, 从而抑制IL-1 $\beta$ 、IL-18剪切成熟及分泌, 故其上游的pro-caspase-1、pro-IL-1 $\beta$ 表达不受影响。MCC950对TNF- $\alpha$ 无作用的原因可能为TNF- $\alpha$ 不需要经NLRP3炎性体通路活化成熟, 故其分泌不受影响。但是MCC950的具体分子机制仍需要进一步体内外研究明确。

## 参考文献

- [1] Bossmann M, Ward PA. The inflammatory response in sepsis [J]. Trends Immunol, 2013, 34 (3): 129-136. DOI: 10.1016/j.it.2012.09.004.
- [2] Lenz A, Franklin GA, Cheadle WG. Systemic inflammation after trauma [J]. Injury, 2007, 38 (12): 1336-1345. DOI: 10.1016/j.injury.2007.10.003.
- [3] Sweeney RM, McAuley DF. Acute respiratory distress syndrome [J]. Lancet, 2016 [2016-09-19]. [published online ahead of print April 28, 2016]. DOI: 10.1016/S0140-6736(16)00578-X.
- [4] De Nardo D, De Nardo CM, Latz E. New insights into mechanisms controlling the NLRP3 inflammasome and its role in lung disease [J]. Am J Pathol, 2014, 184 (1): 42-54. DOI: 10.1016/j.apath.2013.09.007.
- [5] Coll RC, Robertson AA, Chae JJ, et al. A small-molecule inhibitor of the NLRP3 inflammasome for the treatment of inflammatory diseases [J]. Nat Med, 2015, 21 (3): 248-255. DOI: 10.1038/nm.3806.
- [6] Kaczmarek A, Vandenabeele P, Krysko DV. Necroptosis: the release of damage-associated molecular patterns and its physiological relevance [J]. Immunity, 2013, 38 (2): 209-223. DOI: 10.1016/j.immuni.2013.02.003.
- [7] Tolle LB, Standiford TJ. Danger-associated molecular patterns (DAMPs) in acute lung injury [J]. J Pathol, 2013, 229 (2): 145-156. DOI: 10.1002/path.4124.
- [8] Krysko DV, Agostinis P, Krysko O, et al. Emerging role of damage-associated molecular patterns derived from mitochondria in inflammation [J]. Trends Immunol, 2011, 32 (4): 157-164. DOI: 10.1016/j.it.2011.01.005.
- [9] 张建政, 孙天胜, 刘智. 线粒体损伤相关分子模式与创伤后炎性反应综合征 [J]. 中华骨科杂志, 2012, 32 (4): 369-371. DOI: 10.3760/cma.j.issn.0253-2352.2012.04.013.
- Zhang JZ, Sun TS, Liu Z. Mitochondrial damage-associated molecular patterns and post-traumatic inflammatory response syndrome [J]. Chin J Orthop, 2012, 32 (4): 369-371. DOI: 10.3760/cma.j.issn.0253-2352.2012.04.013.
- [10] Li H, Itagaki K, Sandler N, et al. Mitochondrial damage-associated molecular patterns from fractures suppress pulmonary immune responses via formyl peptide receptors 1 and 2 [J]. J Trauma Acute Care Surg, 2015, 78 (2): 272-281. DOI: 10.1097/TA.0000000000000509.
- [11] Zhang Q, Raouf M, Chen Y, et al. Circulating mitochondrial DAMPs cause inflammatory responses to injury [J]. Nature, 2010, 464 (7285): 104-107. DOI: 10.1038/nature08780.
- [12] Gu X, Wu G, Yao Y, et al. Intratracheal administration of mitochondrial DNA directly provokes lung inflammation through the TLR9-p38 MAPK pathway [J]. Free Radic Biol Med, 2015, 83: 149-158. DOI: 10.1016/j.freeradbiomed.2015.02.034.
- [13] 刘芬, 曾振国, 李勇, 等. 线粒体DNA诱导肺泡巨噬细胞炎症反应的实验研究 [J]. 南昌大学学报(医学版), 2014, 54 (1): 1-3. Liu F, Zeng ZG, Li Y, et al. Induction of Alveolar Macrophage Inflammatory Response by Mitochondrial DNA [J]. J Nanchang Univ (Med Sci), 2014, 54 (1): 1-3.
- [14] Lamkanfi M, Dixit VM. Mechanisms and functions of inflammasomes [J]. Cell, 2014, 157 (5): 1013-1022. DOI: 10.1016/j.cell.2014.04.007.
- [15] Schroder K, Tschopp J. The inflammasomes [J]. Cell, 2010, 140 (6): 821-832. DOI: 10.1016/j.cell.2010.01.040.
- [16] 刘桂青, 赵自刚, 牛春雨. NOD样受体蛋白炎性小体在休克致器官损伤中的作用 [J]. 中华危重病急救医学, 2015, 27 (11): 934-937. DOI: 10.3760/cma.j.issn.2095-4352.2015.11.017. Liu GQ, Zhao ZG, Niu CY. Role of NOD like receptor protein in the organ injury induced by shock [J]. Chin Crit Care Med, 2015, 27 (11): 934-937. DOI: 10.3760/cma.j.issn.2095-4352.2015.11.017.
- [17] Graile JJ, Canning BA, Kalbitz M, et al. Critical role for the NLRP3 inflammasome during acute lung injury [J]. J Immunol, 2014, 192 (12): 5974-5983. DOI: 10.4049/jimmunol.1400368.
- [18] Liao J, Kapadia VS, Brown LS, et al. The NLRP3 inflammasome is critically involved in the development of bronchopulmonary dysplasia [J]. Nat Commun, 2015, 6: 8977. DOI: 10.1038/ncomms9977.
- [19] 张涛, 熊旭东, 赵敏. 通腑泻肺方对脓毒症急性肺损伤大鼠NLRP3调控作用的实验研究 [J]. 中国中医急症, 2014, 23 (8): 1406-1408, 1440. DOI: 10.3969/j.issn.1004-745X.2014.08.004. Zhang T, Xiong XD, Zhao M. Experimental Study of Tongfuxiefei Decoction on Regulating NLRP3 in Rats with Sepsis in Acute Lung Injury [J]. JETCM, 2014, 23 (8): 1406-1408, 1440. DOI: 10.3969/j.issn.1004-745X.2014.08.004.
- [20] 张维康, 潘灵辉. NOD样受体蛋白3炎症小体在呼吸机相关性肺损伤中的作用机制研究 [J]. 中华危重病急救医学, 2015, 27 (10): 821-825. DOI: 10.3760/cma.j.issn.2095-4352.2015.10.008. Zhang WK, Pan LH. Role and mechanism of the NOD-like receptor 3 inflammasome in ventilator-induced lung injury in rats [J]. Chin Crit Care Med, 2015, 27 (10): 821-825. DOI: 10.3760/cma.j.issn.2095-4352.2015.10.008.
- [21] dos Santos G, Rogel MR, Baker MA, et al. Vimentin regulates activation of the NLRP3 inflammasome [J]. Nat Commun, 2015, 6: 6574. DOI: 10.1038/ncomms7574.
- [22] Youm YH, Nguyen KY, Grant RW, et al. The ketone metabolite  $\beta$ -hydroxybutyrate blocks NLRP3 inflammasome-mediated inflammatory disease [J]. Nat Med, 2015, 21 (3): 263-269. DOI: 10.1038/nm.3804.
- [23] Luo YP, Jiang L, Kang K, et al. Hemin inhibits NLRP3 inflammasome activation in sepsis-induced acute lung injury, involving heme oxygenase-1 [J]. Int Immunopharmacol, 2014, 20 (1): 24-32. DOI: 10.1016/j.intimp.2014.02.017.
- [24] Zhang Y, Li X, Graile JJ, et al. Melatonin alleviates acute lung injury through inhibiting the NLRP3 inflammasome [J]. J Pineal Res, 2016, 60 (4): 405-414. DOI: 10.1111/jpi.12322.
- [25] Zhong Z, Umemura A, Sanchez-Lopez E, et al. NF- $\kappa$ B restricts inflammasome activation via elimination of damaged mitochondria [J]. Cell, 2016, 164 (5): 896-910. DOI: 10.1016/j.cell.2015.12.057.

(收稿日期: 2016-09-20)

(本文编辑: 保健媛, 李银平)